

Cerro Gordo

Cerro Enije

Volcan Xocothlan

Paige

S. Andres Timiparu

Abundancia de aves

Cerro Felon

Buxio

Bodenguz

Cerro de Los Fajos

Cerro de Tupa

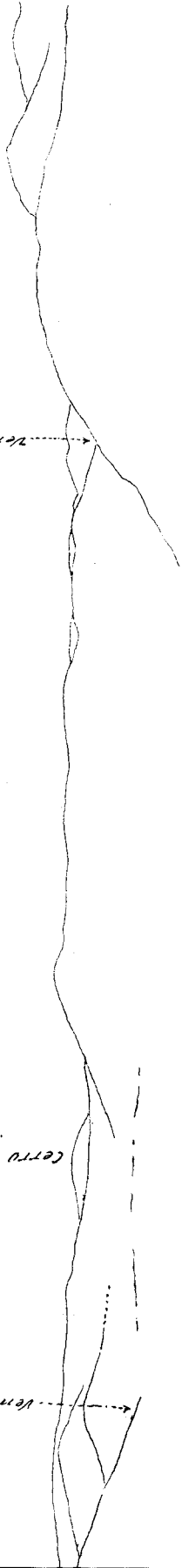
Chapa de Mota

Cerro del Capro

Vento de S. Lucas

Cerro de Ahacomzillo.

Vento Blanca





una de Huapango y una parte de la barranca montañosa que separa el valle de Acambay del de Huapango.

FOT. FOND. N. 10

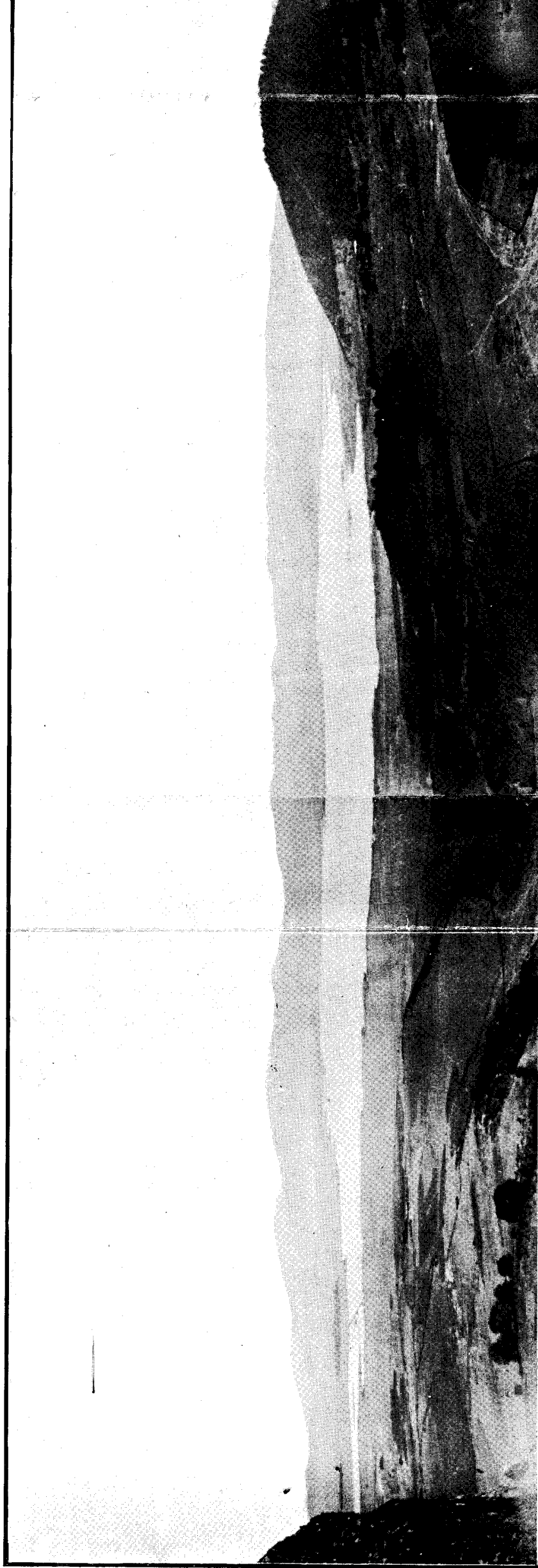


Fig. 15.—Vista general de la porción meridional de la laguna de Huapango y una parte de la barr

Cerro Gordo

Cerro Enigze

Volcan Xocotlan

S. Andres Timilpan

Peligro

Abuelo y Amigo

Cerro Felon

Buxio

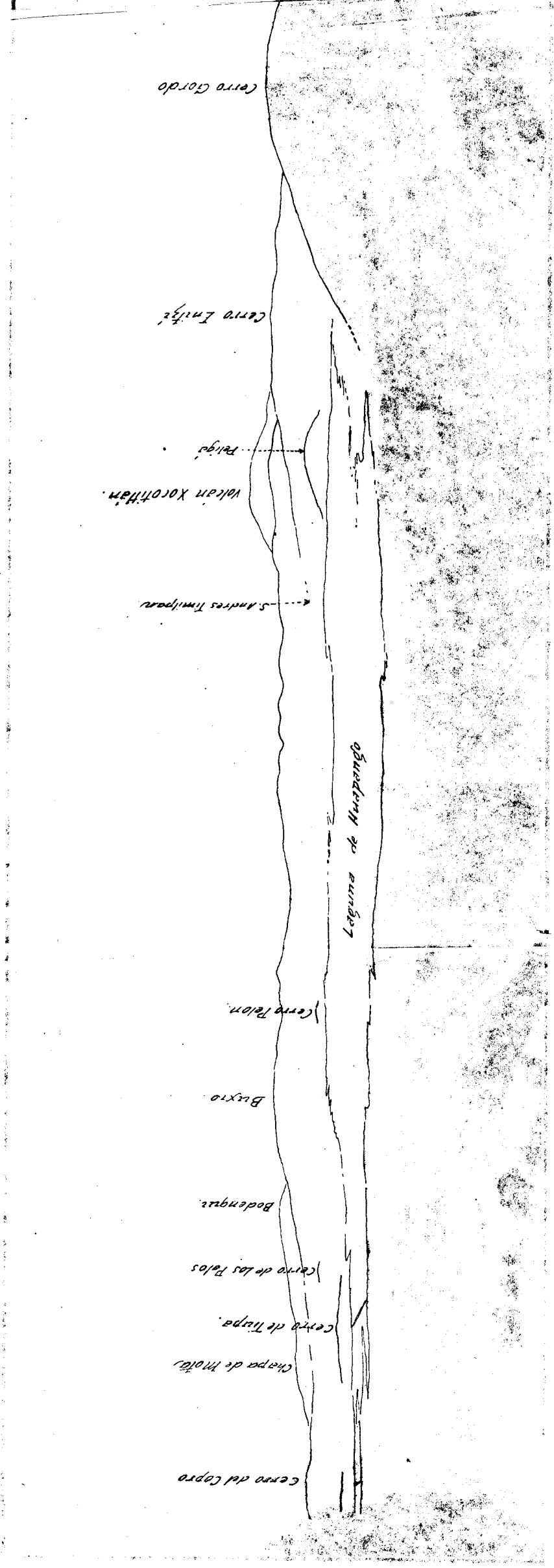
Bodenguz

Cerro de los Palos

Cerro de Huapa

Chapa de Mofu

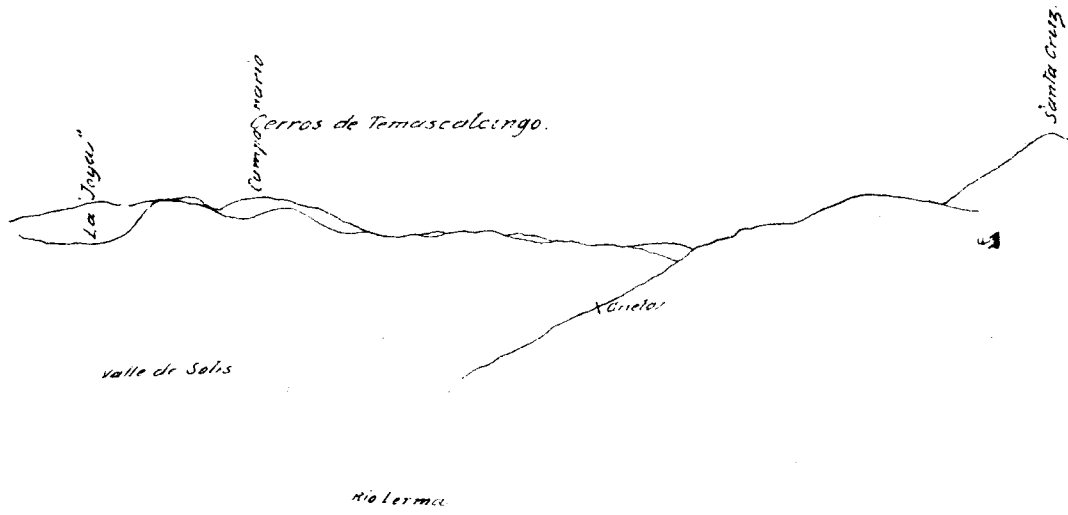
Cerro del Capro



Venta de S. Lucas

Cerro de Ahlacomilco.

Venta Blanca



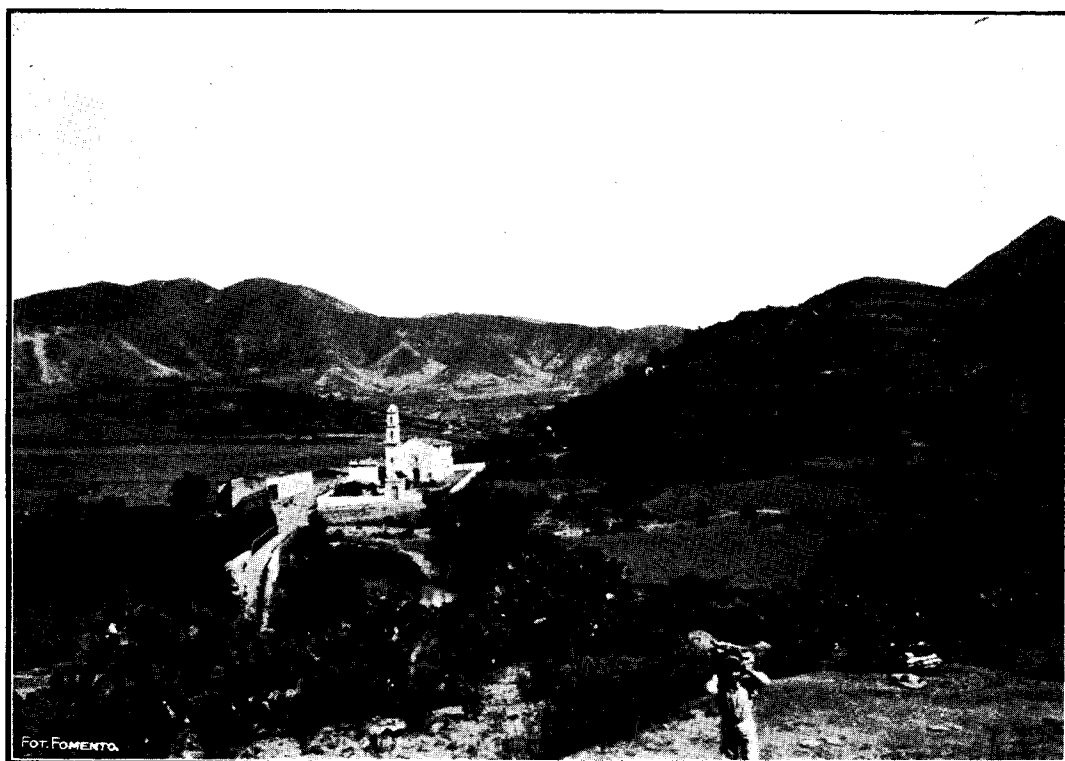


Fig. 16.—Vista de los cerros que limitan el valle de Temascalcingo



Fig. 17.—Aspecto de la porción septentrional de los cerros de Peña Redonda y Arroyozarco que forman parte del macizo montañoso Acambay-Tixmadeje.

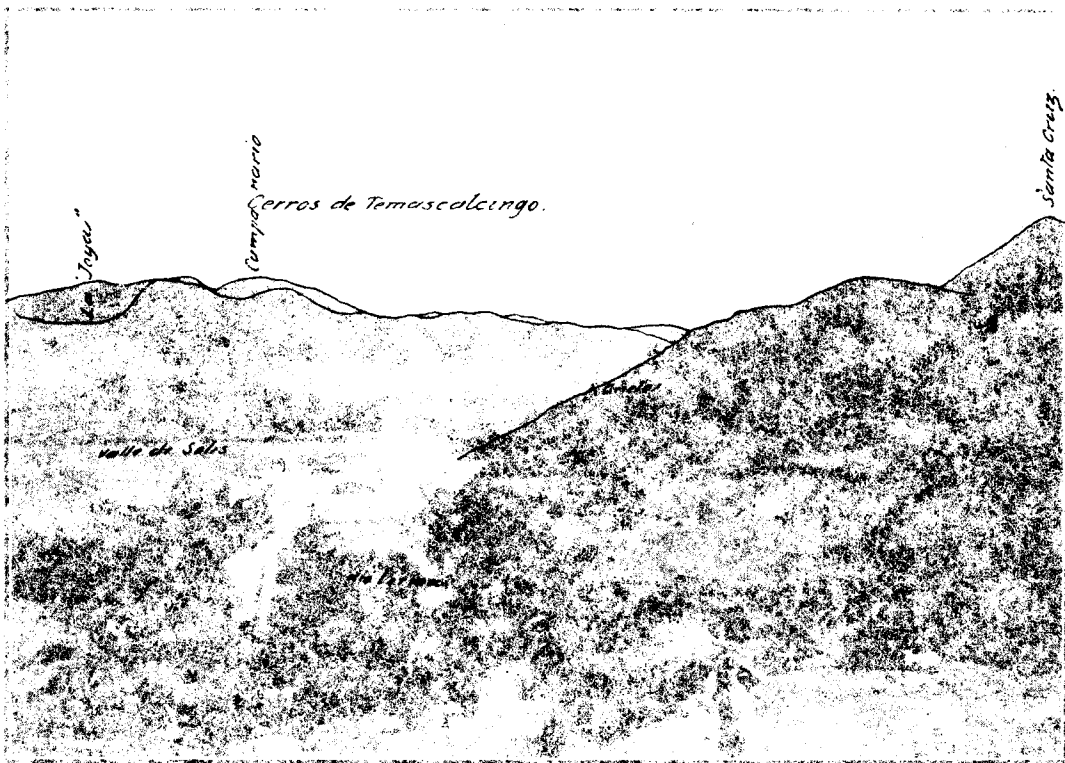


Fig. 16.—Vista de los cerros de Temascalcingo y Compostoma.



Fig. 17.—Aspecto de la porción septentrional de los cerros de Peña Redonda y Arroyozarco que forman parte del macizo montañoso Acambay-Tixmadeje.

Cerro de Rato

Rhucomilco

Cerrillos Roscosos

Cerro Maye

Cerros de Cuernavaca

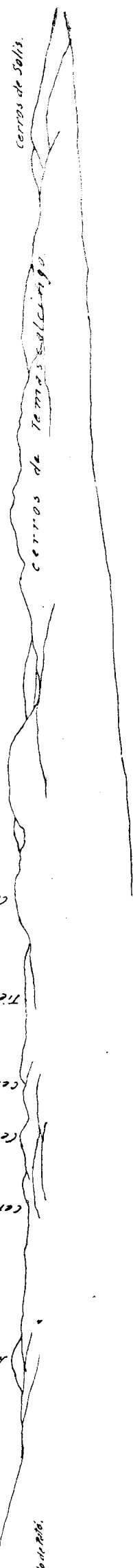
Tierras Coloradas

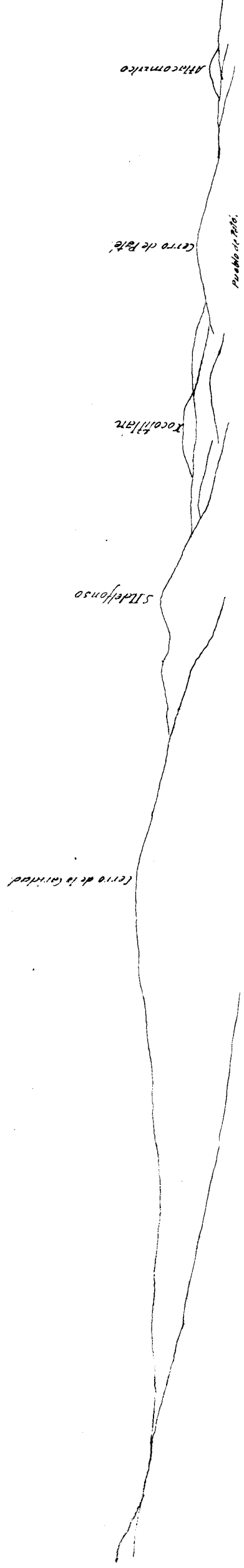
Canfoxi

Mafoxi

Cerros de Tenorio Salcedo

Cerros de Salin



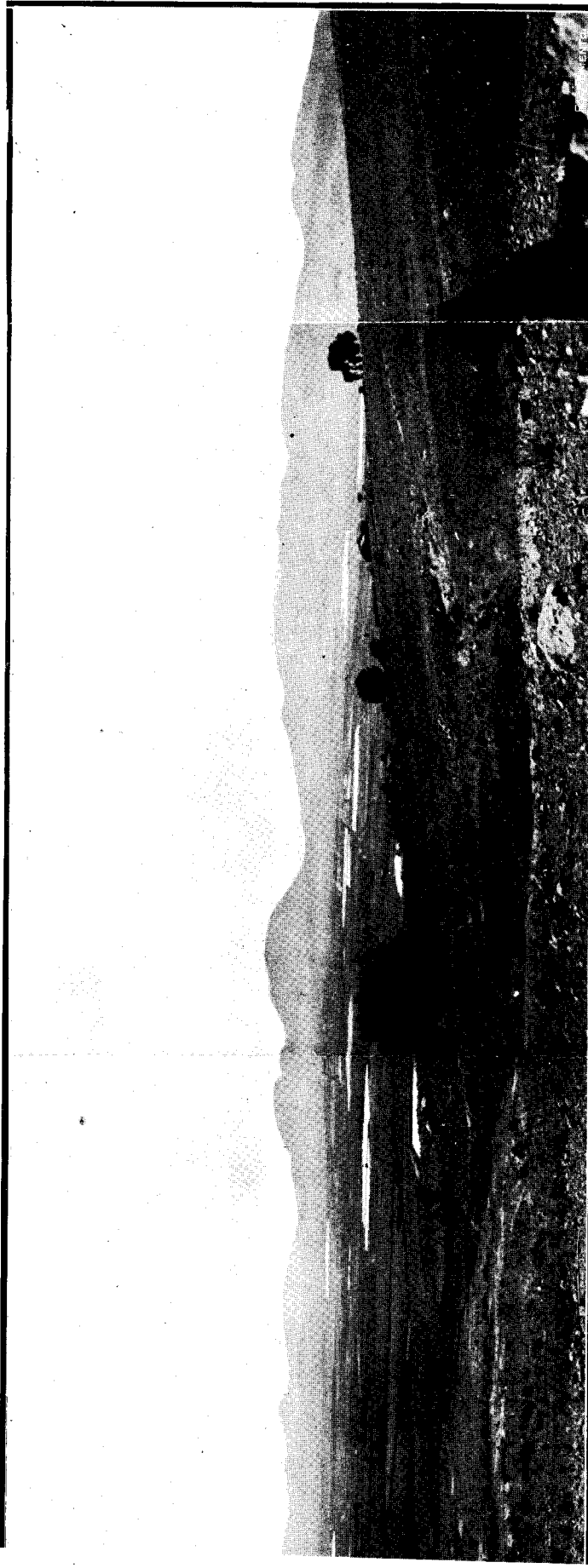


Pueblo de Pate

Población de Acambay



tomado desde "La Mina," lugar situado a 1700 metros al

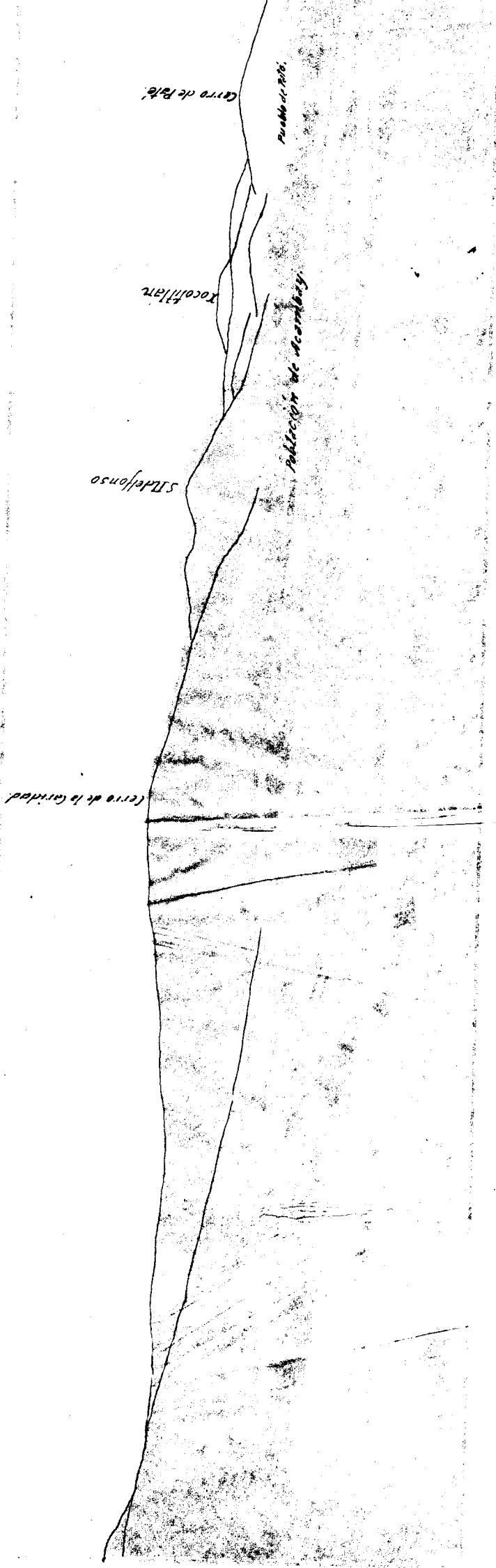


N.W. de la población del mismo nombre.



Fig. 18.—Panorama del valle de Acambay, tomado desde "La Mina," lugar situado a 1700 metros al

.W. de la



Cerro de Palo

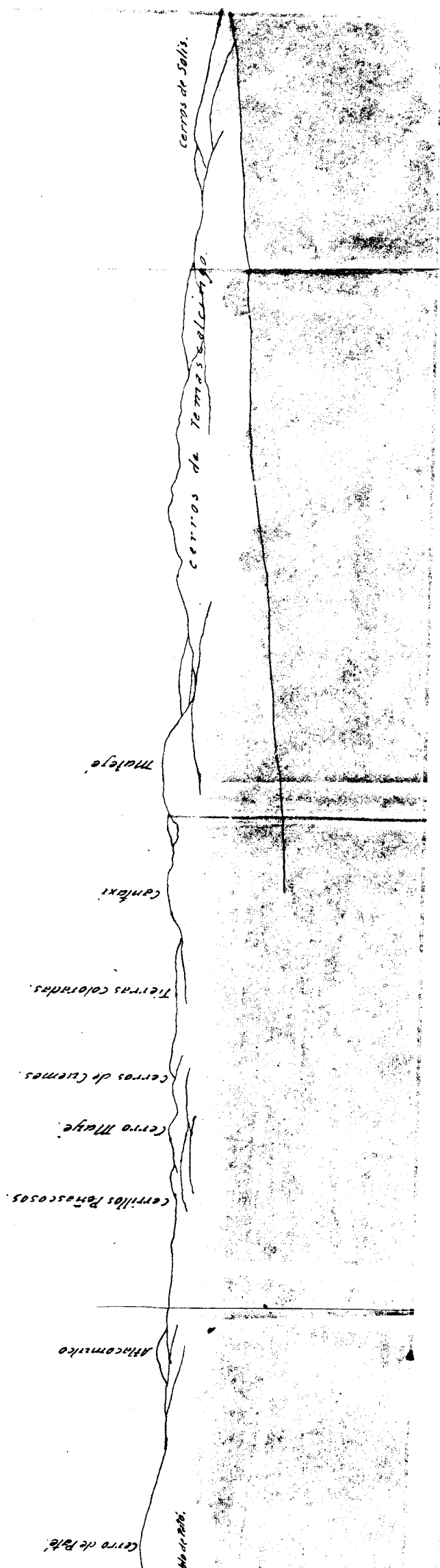
Pueblo de Palo

Xocoliltan

Pueblo de San Mateo

Stadelsonso

Cerro de la Caridad



Cerro de Salís.

Cerritos de Temasalcaingo.

Majé.

Canixi.

Tierras coloradas.

Cerro de Cuemas.

Cerro Majé.

Cerrillos Pinoscosos.

Ahuacamezco.

Cerro de Pate.

Cerro de Pate.

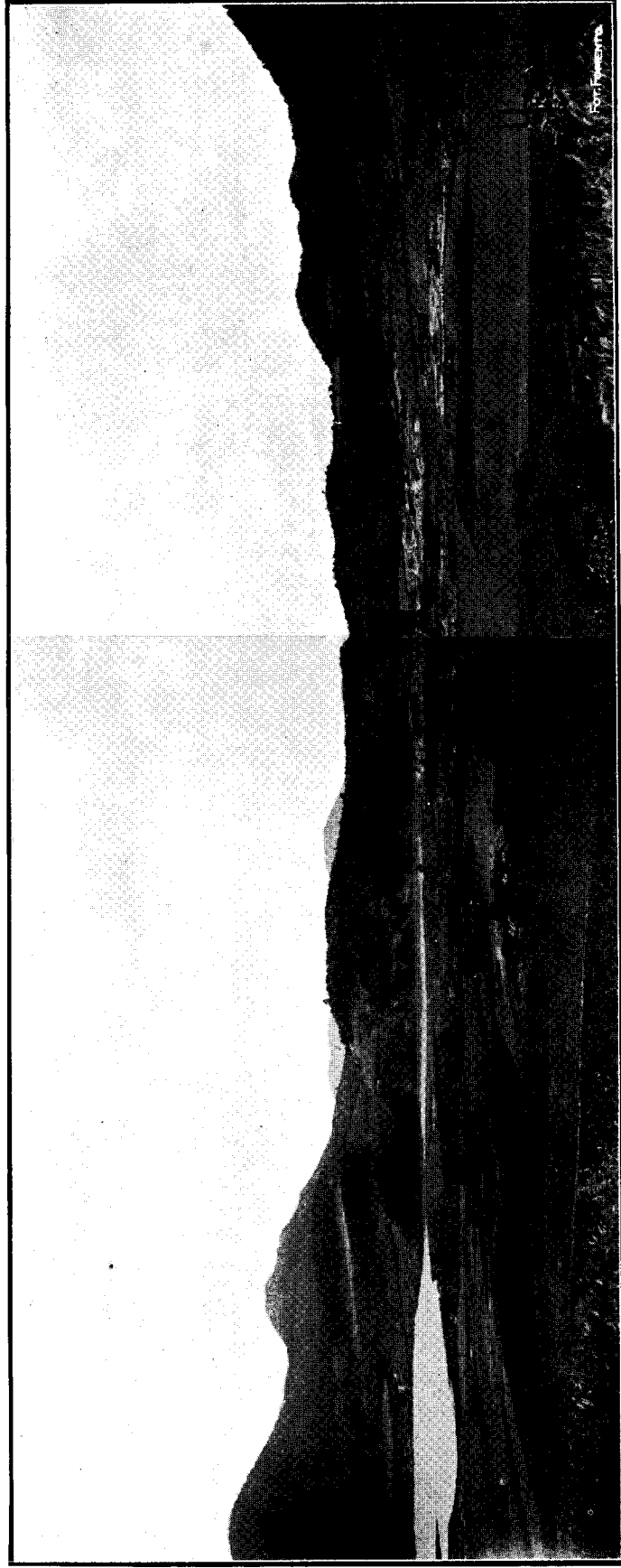


Fig. 19.—Panorama de una parte del pequeño valle de "San Pedro El Alto," situado en la porción central de la zona megasísmica y en cuyo fondo pasa una de las grietas. A la derecha de la fotografía se ve el cerro de "La Santa Cruz," y la presa; y en el centro, el núcleo del pueblo que fué destruido por el temblor.

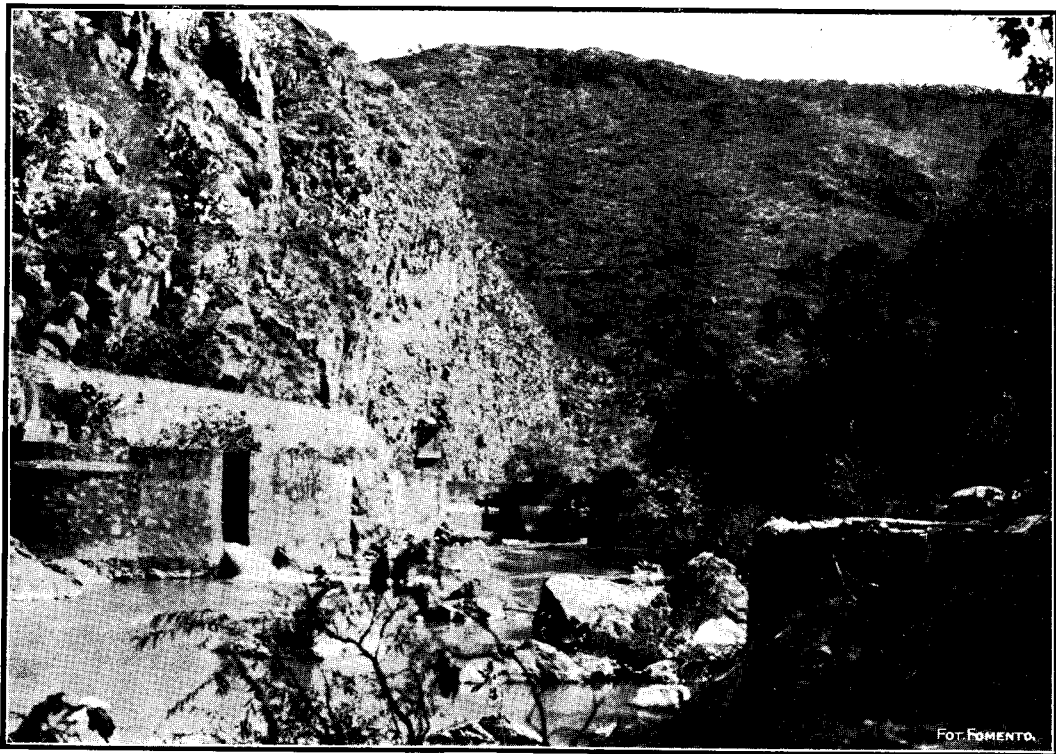


Fig. 20.—Desfiladero cortado por el río Lerma sobre una corriente de andesita. Visto desde el valle de Solís, tiene el aspecto de una fractura.

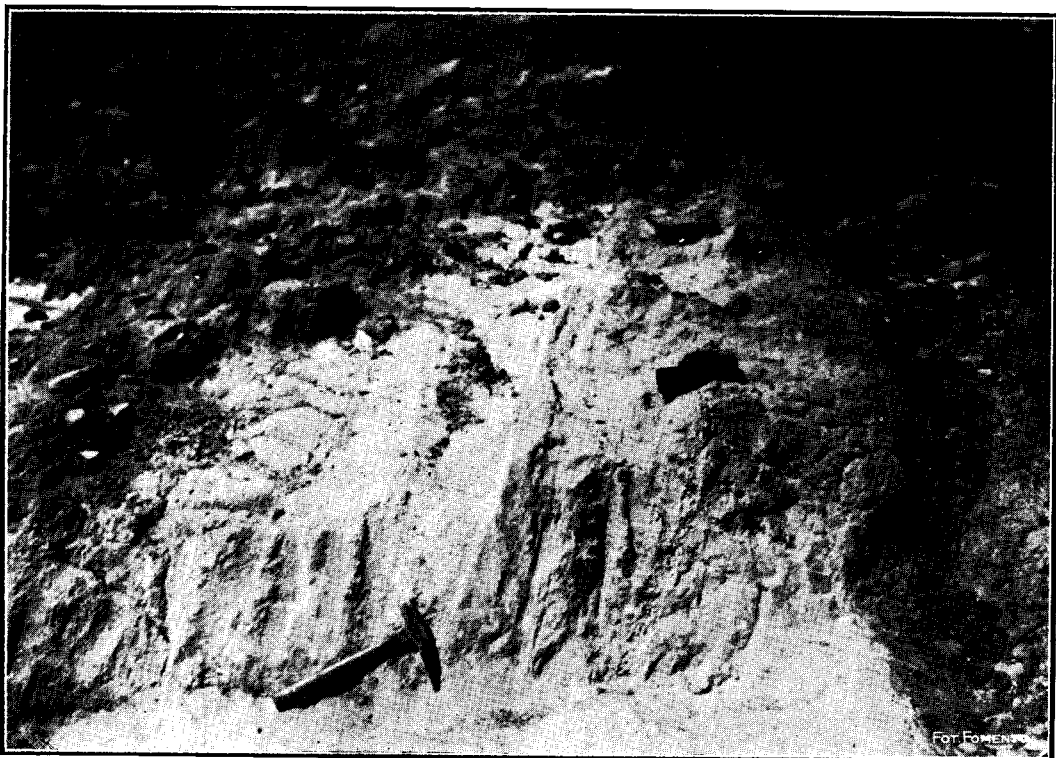
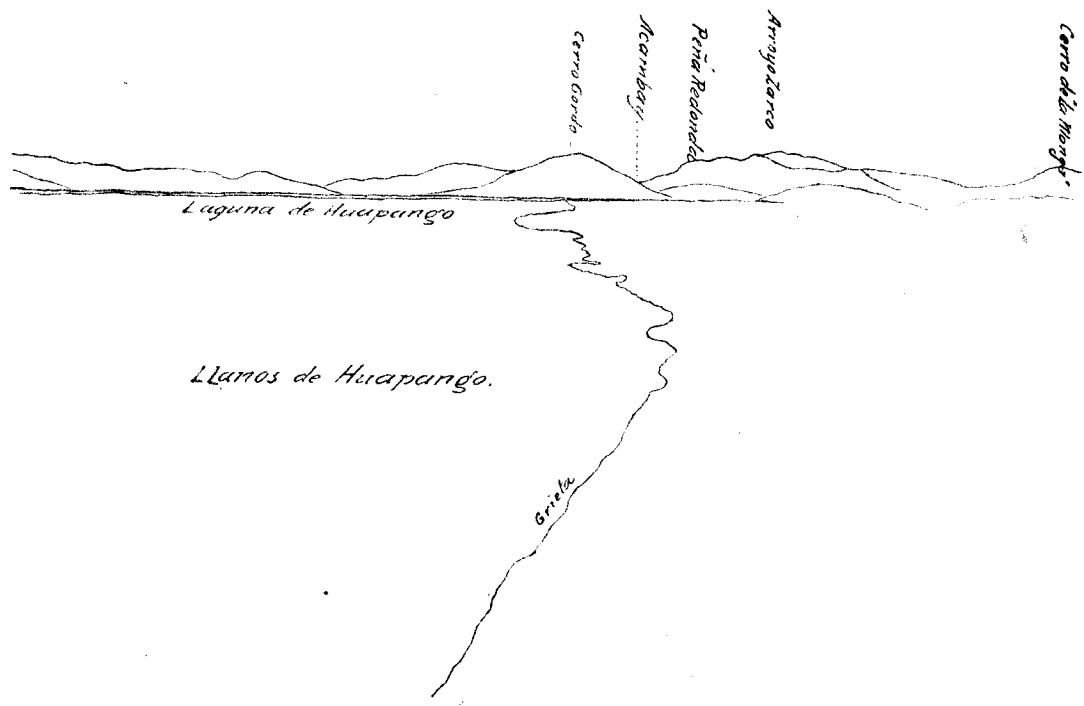


Fig. 21.—Tobas pomosas, brechosas y estratificadas en posición casi vertical



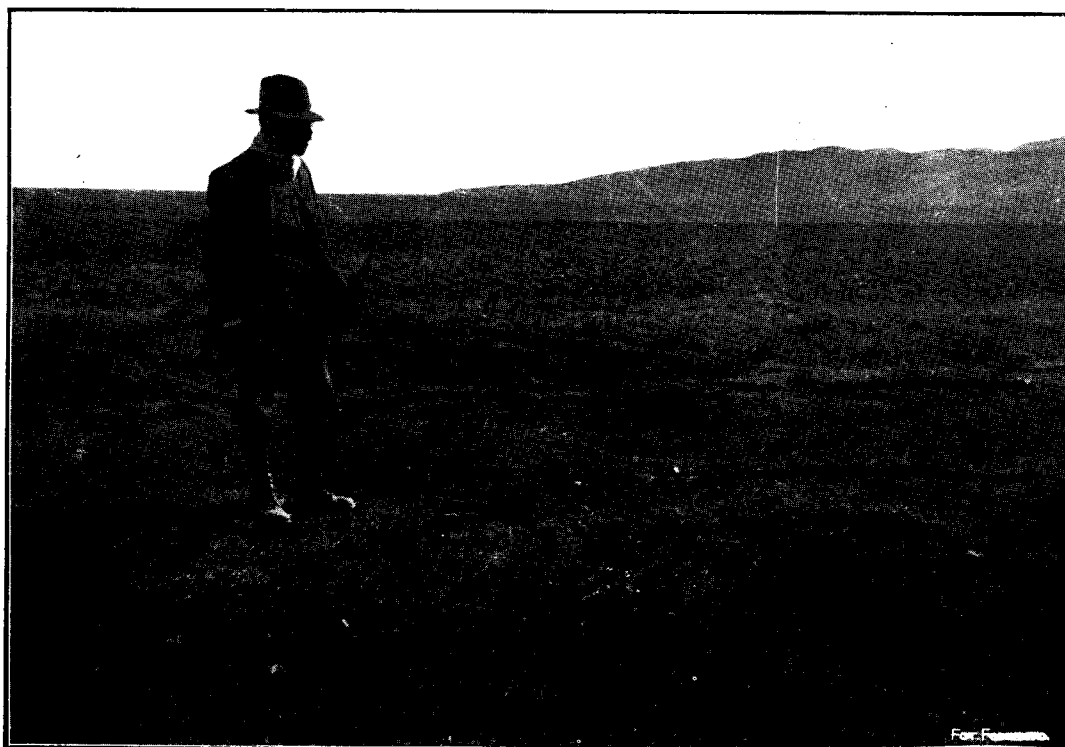


Fig. 22.—Parte ramificada de la grieta del sistema septentrional, en el llano de Huapango, rancho de "El Fresno"

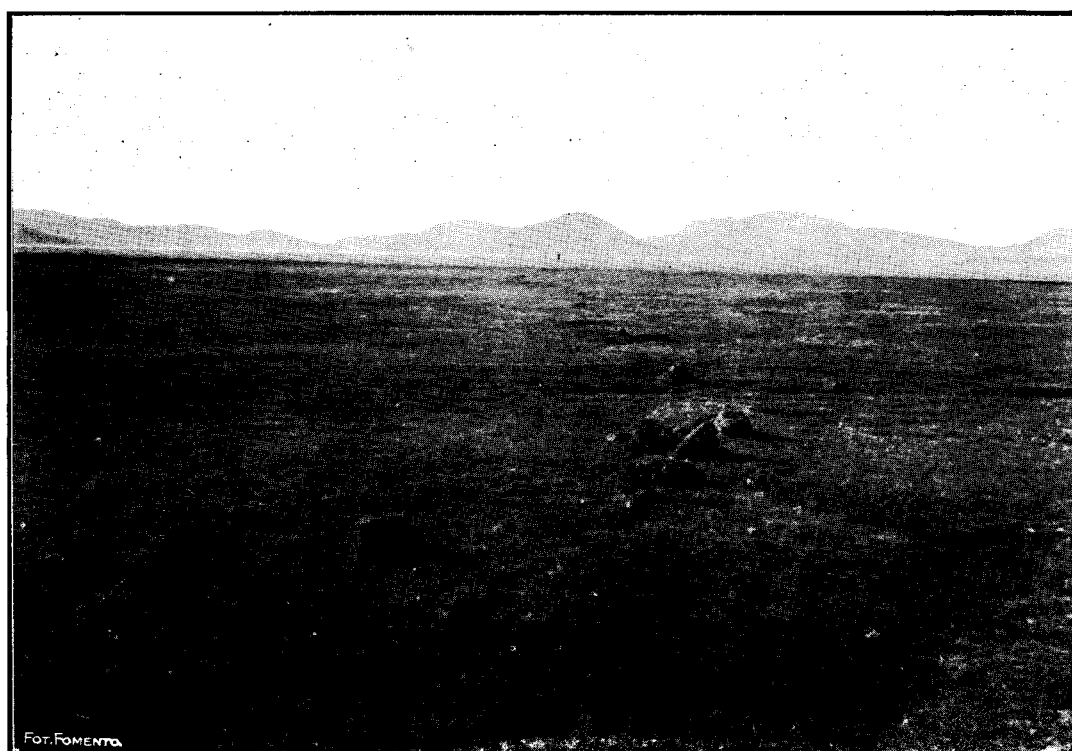


Fig. 23.—Bordes saltados de la grieta y curso sinuoso de la misma en el mencionado llano de Huapango



Fig. 22.—Parte ramificada de la grieta del sistema septentrional, en el llano de Huapango, rancho de "El Fresno"

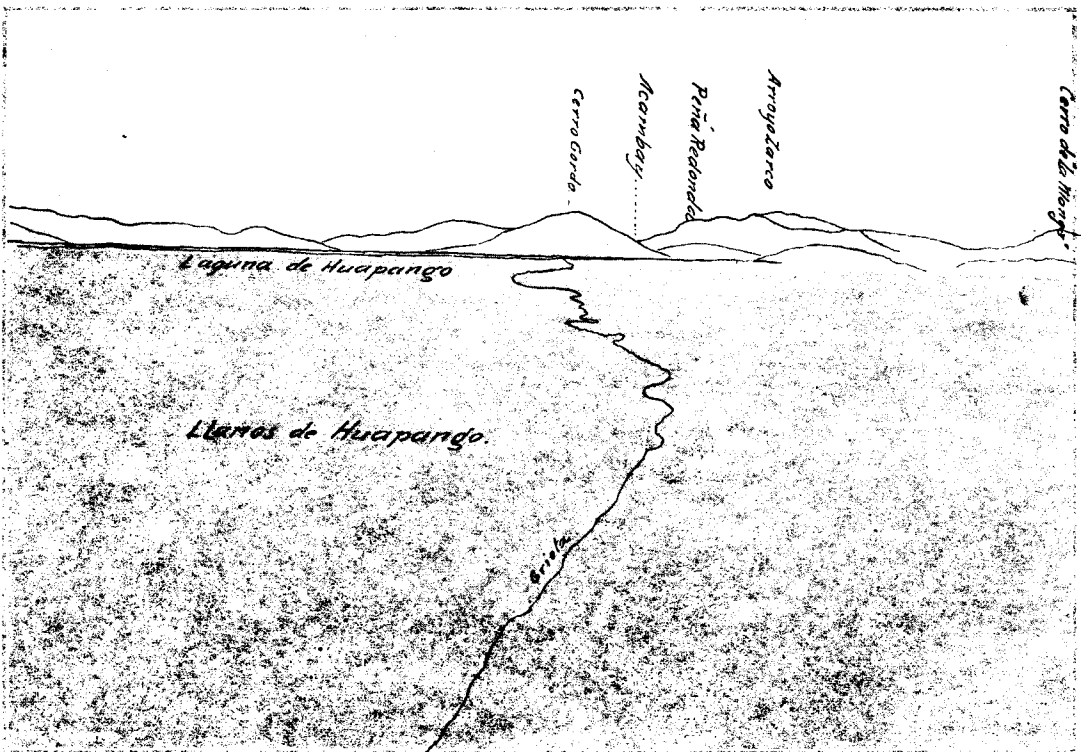




Fig. 24.—Desnivel máximo (20 cm.) de los bordes de la grieta en el mismo llano de Huapango

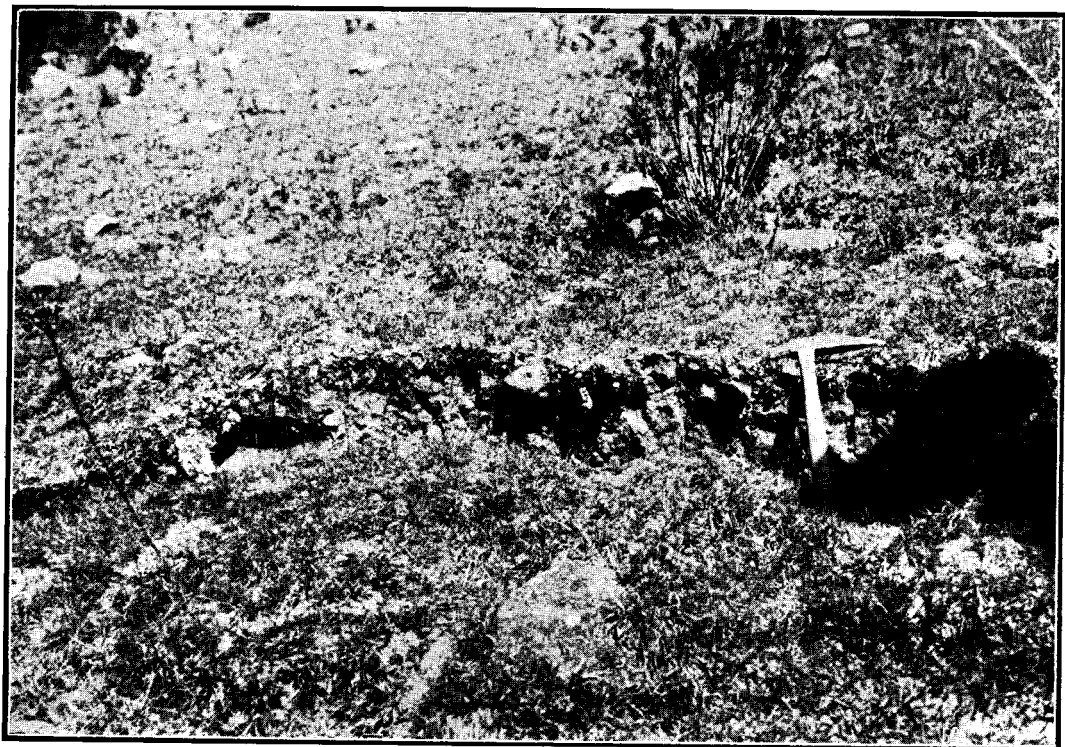


Fig. 25.—Grieta en la ladera meridional del cerrito de "La Joya," al N.W. de Acambay (sistema septentrional)

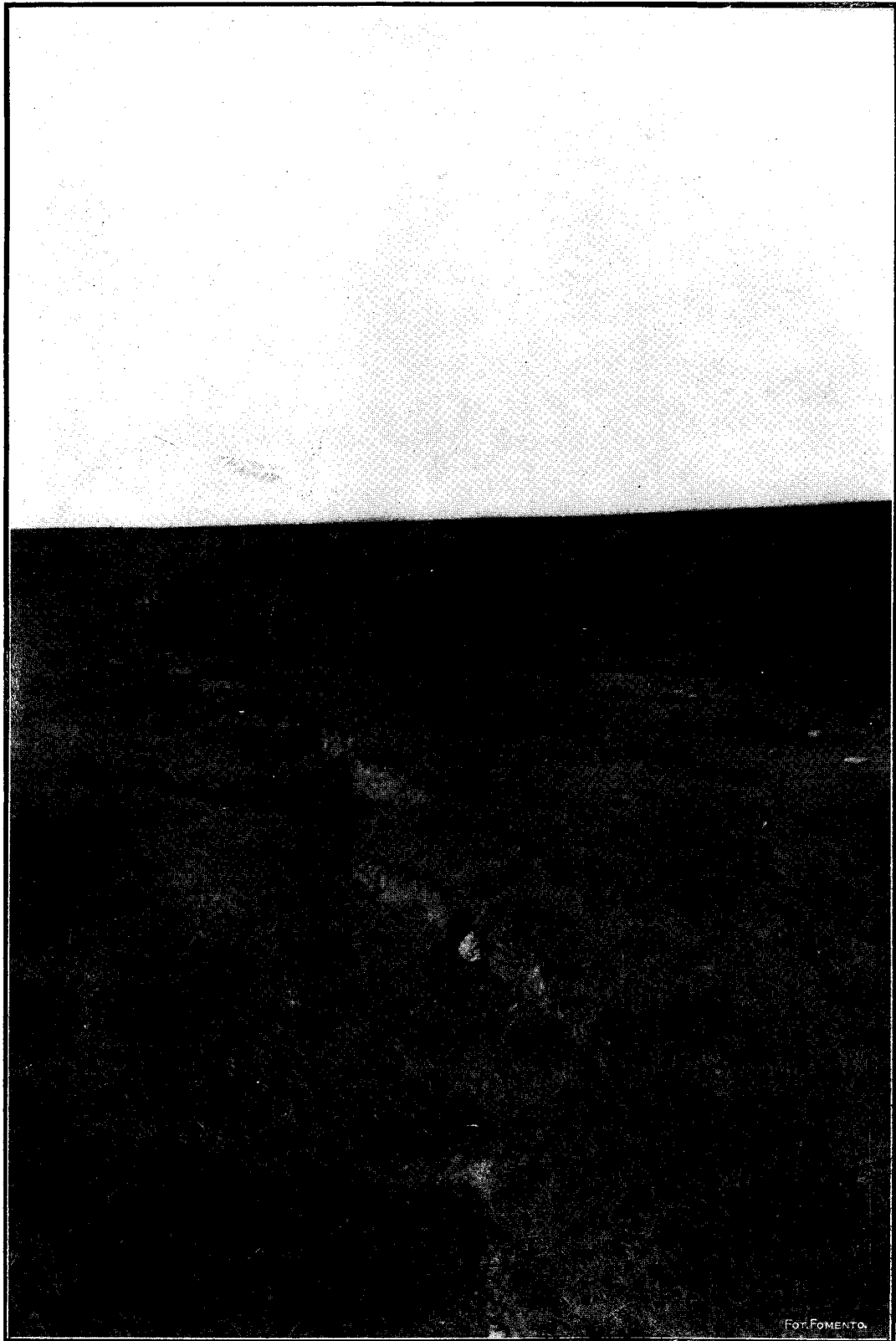


Fig. 26.—Aspecto dentado de los bordes de la grieta en el mencionado valle de Huapango

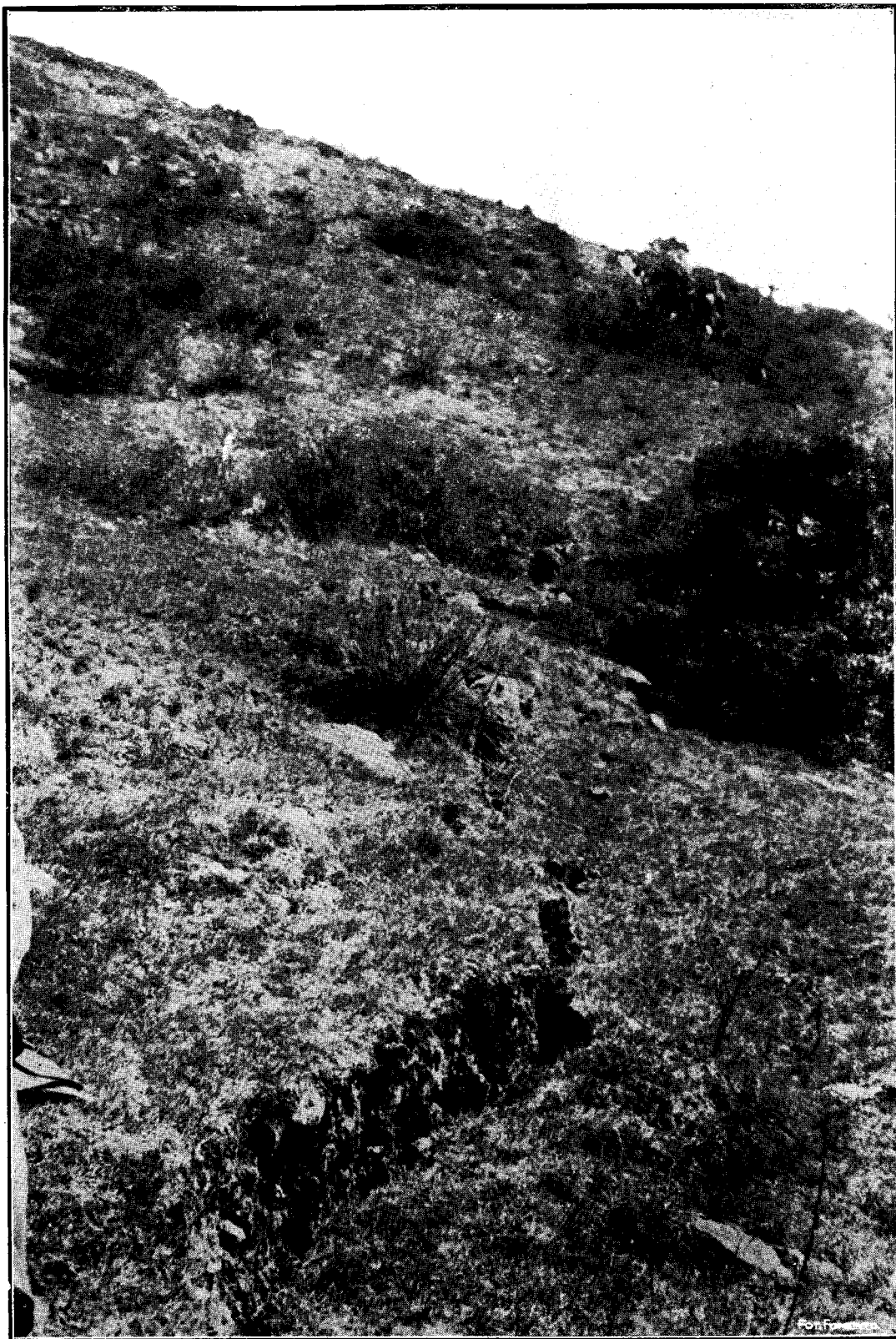


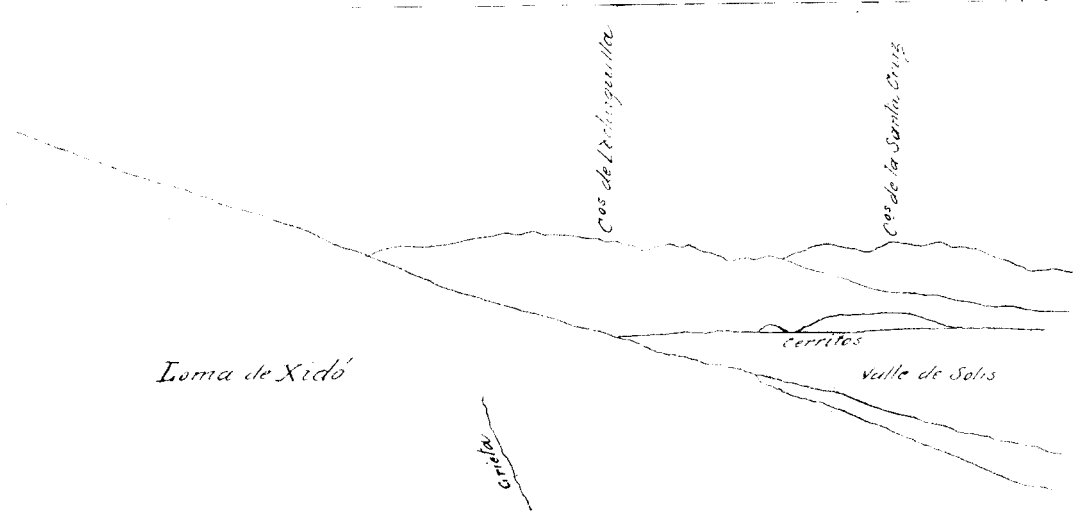
Fig. 27.—La misma grieta de la fig. 25.
tomada longitudinalmente para mostrar también la pendiente del terreno



Fig. 28.—La grieta del sistema septentrional que pasa por la falda meridional del cerro "Tixmadeje," la más cercana al pueblo del mismo nombre, con desnivel de 50 cm., en terreno inclinado 30°.



Fig. 29.—Hundimiento de terreno flojo, en fuerte pendiente, a consecuencia del temblor, situado al W. de la Peña de Huamango, cerca de un ramal de la grieta septentrional y donde nace un arroyo.



Loma de Xido

Cose de l'Indigenilla

Cose de la Santa Cruz

Cerritos

Valle de Solis

Grieta



Fig. 30.—Aspecto de la grieta en la falda de Xidó,
sobre el camino
de Solís al Agostadero, perteneciente al sistema septentrional

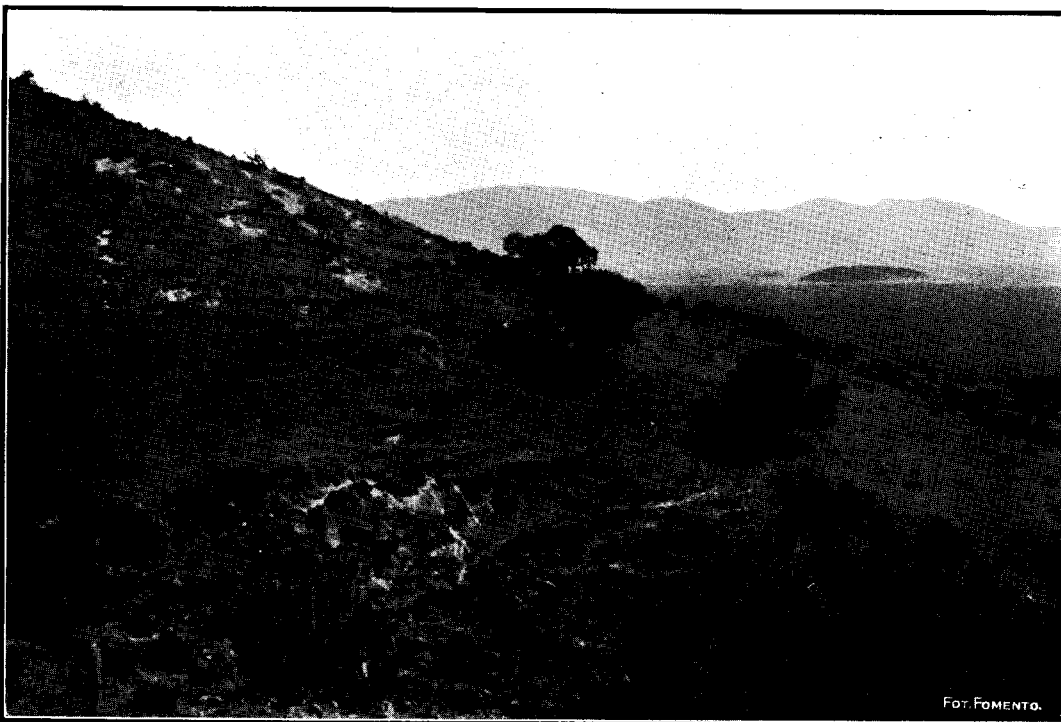


Fig. 31.—Curso de la misma grieta, fotografiado en el sentido longitudinal
para mostrar la inclinación del terreno



Fig. 30.—Aspecto de la grieta en la falda de Xidó,
sobre el camino
de Solís al Agostadero, perteneciente al sistema septentrional

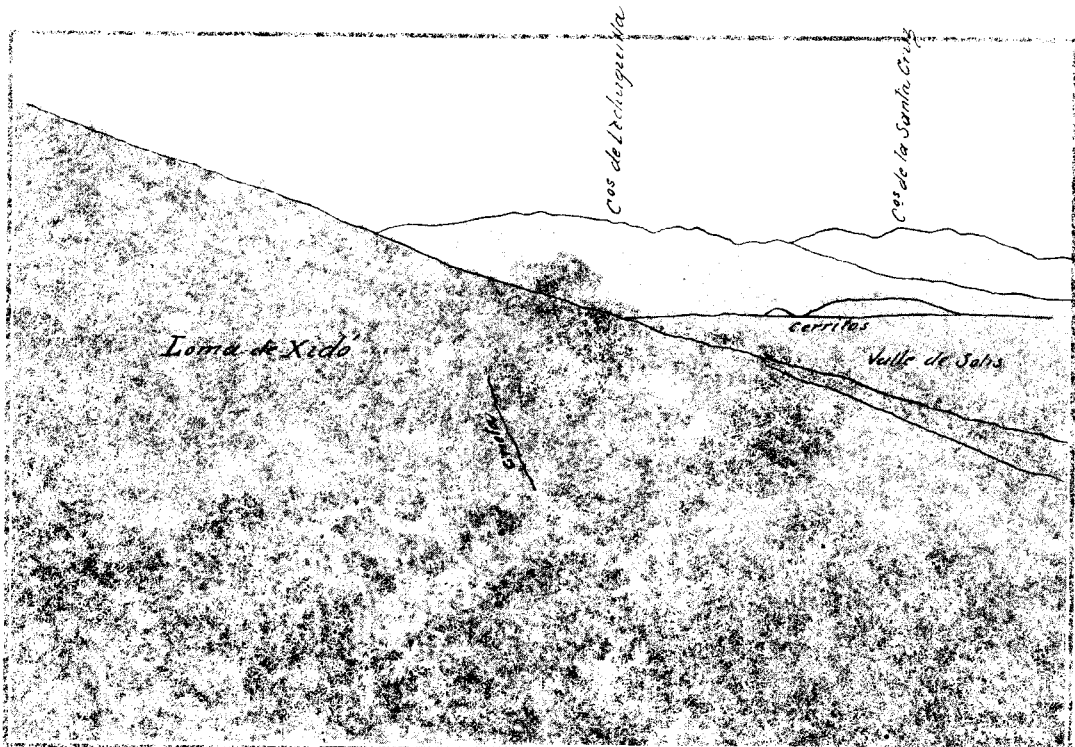


Fig. 31.—Corte geológico de la zona de Xidó, Solís y Agostadero, mostrando la grieta que divide a la loma de Xidó y el valle de Solís.

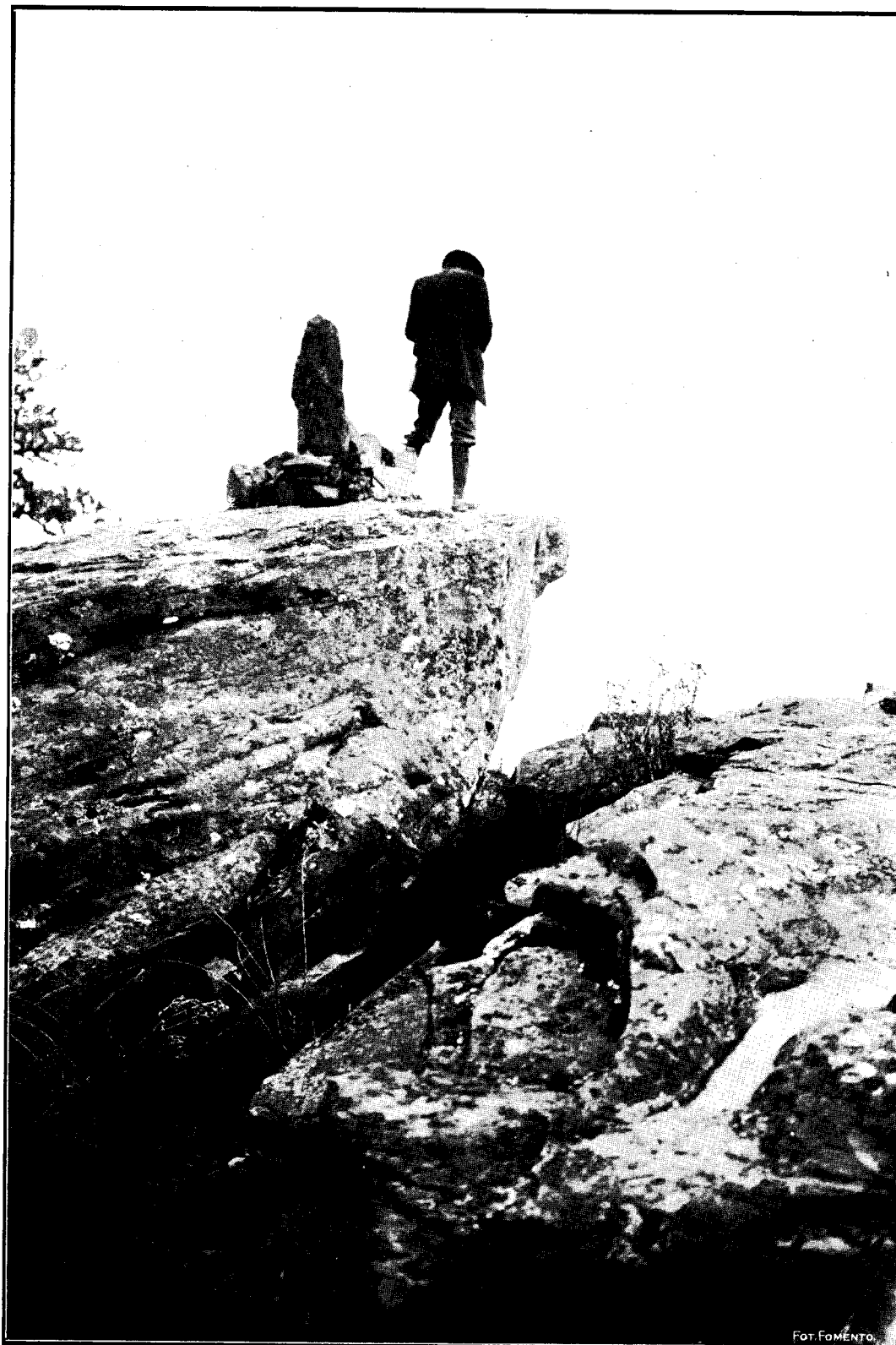


Fig. 32.—Grieta del sistema central en la cima del cerro de "El Aguaje."
Aparece en un afloramiento de andesita de hiperstena



Fig. 33.—Despedazamiento del terreno en el extremo de una grieta del sistema central, en el fondo del valle de San Pedro el Alto, cerca de la presa del mismo nombre.



Fig. 34.—Derrumbe en la margen derecha del río Lerma, en el valle de Solís, después del puente de fierro, causado por el temblor. Los árboles que figuran en la fotografía, han sido transportados de la margen derecha a la margen izquierda, azolvando el canal.

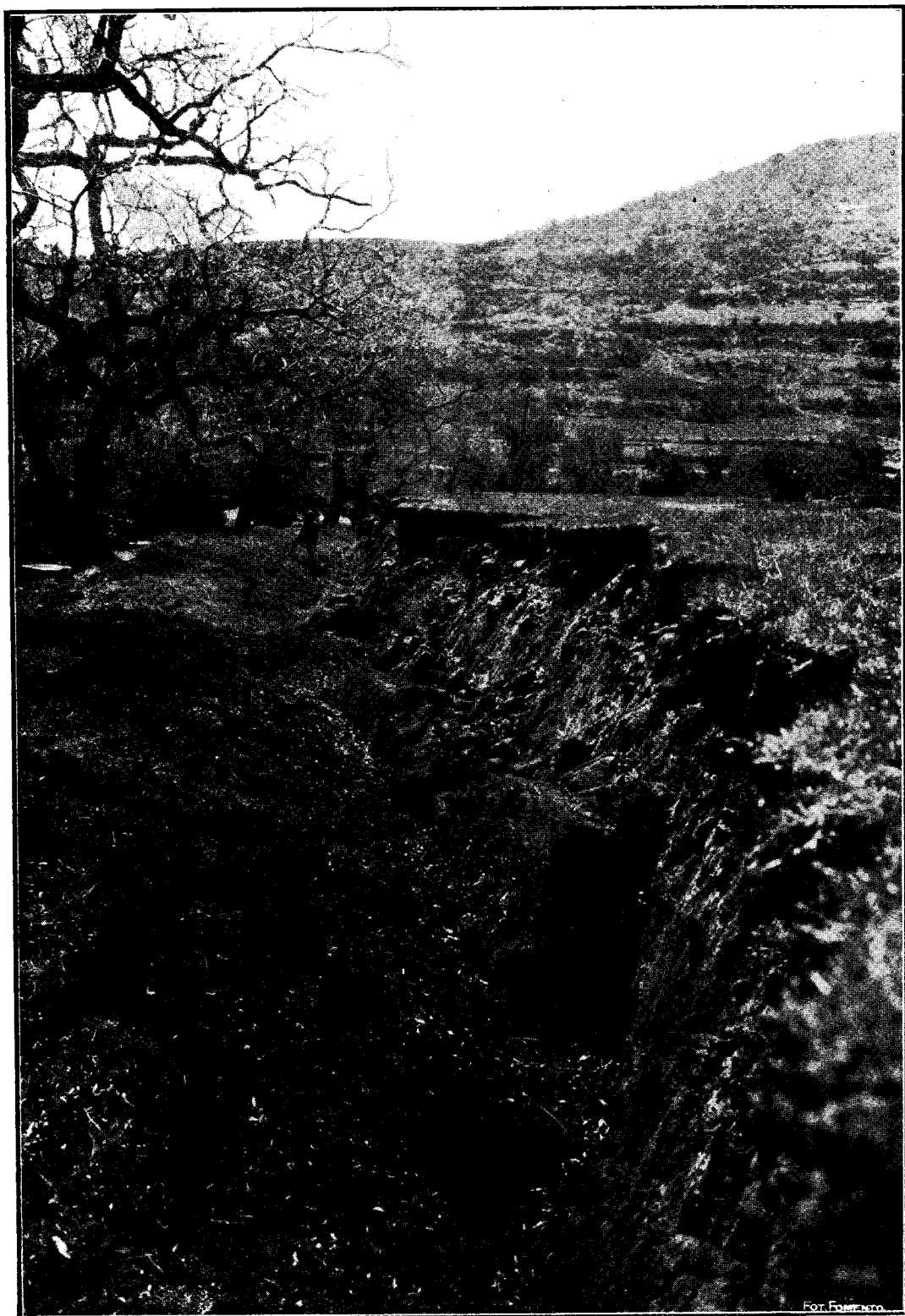


Fig. 35.—Hundimiento de la margen derecha del río Lerma, antes de tomar la dirección E.-W., entre la Hacienda de Toxi y el "Puente Grande."